

# Metoda konečných diferencí



Tato prezentace byla vytvořena na základě podpory grantu  
FRVŠ 1249/2013

# Obsah

- Rovnice vedení tepla
  - Explicitní schéma
  - Implicitní schéma
- Rovnice struny

# Obsah

- Rovnice vedení tepla
  - Explicitní schéma
  - Implicitní schéma
- Rovnice struny

# Nestacionární vedení tepla v 1D

Nestacionární vedení tepla můžeme popsat rovnicemi

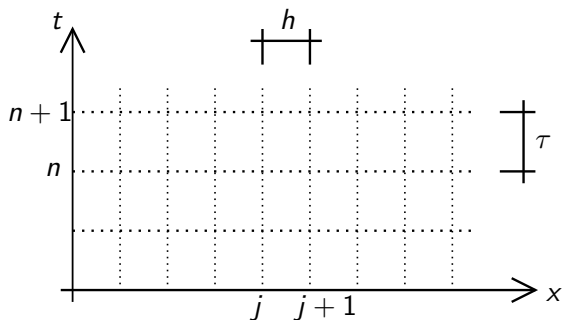
$$u_{,t} = u_{,xx}, \quad \forall t > 0, x \in (0, 1) \quad (1)$$

$$u(0, t) = u(1, t) = 0, \quad \forall t > 0, \quad (2)$$

$$u(x, 0) = u^0(x) \quad (3)$$

Aproximujeme hledanou funkci  $u$  v bodě  $(x_j, t_n)$ :

$$u(x_j, t_n) \approx U_j^n. \quad (4)$$



Obrázek: Schéma výpočetní sítě pro nestacionární úlohu tepla v 1D

# Explicitní schéma

Nahradíme derivace podílem diferencí

$$u_{,t}(x_j, t_n) \approx \frac{u(x_j, t_{n+1}) - u(x_j, t_n)}{h}, \quad (5)$$

$$u_{,xx}(x_j, t_n) \approx \frac{u(x_j + h, t_n) - 2u(x_j, t_n) + u(x_j - h, t_n)}{h^2}.$$

# Diferenční rovnice

Dostaneme diferenční rovnici

$$\frac{U_j^{n+1} - U_j^n}{\tau} = \frac{U_{j+1}^n - 2U_j^n + U_{j-1}^n}{h^2}, \quad (6)$$

kterou po zavedení  $\mu = \tau/h^2$  můžeme přepsat do následujícího tvaru, vhodného pro výpočet

$$U_j^{n+1} = U_j^n + \mu(U_{j+1}^n - 2U_j^n + U_{j-1}^n). \quad (7)$$

## Chyba diskretizace

Taylorův rozvoj.

$$u(x, t + \tau) = u(x, t) + u_{,t}(x, t)\tau + \frac{1}{2}u_{,tt}(x, \eta)\tau^2, \quad \eta \in (t, t + \tau),$$

$$\begin{aligned} u(x + h, t) &= u(x, t) + u_{,x}(x, t)h + \frac{1}{2}u_{,xx}(x, t)h^2 + \frac{1}{6}u_{,xxxx}(x, t)h^3 + \quad (8) \\ &\quad \frac{1}{24}u_{,xxxx}(\xi, t)h^2, \quad \xi \in (x - h, h + h). \end{aligned}$$

Za předpokladu dostatečné hladkosti počáteční podmínky a její konzistence s okrajovými podmínkami existují konstanty  $M_1, M_2$  tak, že  $|u_{,tt}| \leq M_1$ ,  $|u_{,xxxx}| \leq M_2$

$$|\varepsilon_{h,\tau}(x, t)| \leq \frac{M_1}{2}\tau + \frac{M_2}{12}h^2 = \frac{\tau}{2} \left[ M_1 + \frac{1}{6\mu}M_2 \right]. \quad (9)$$

Pro pevný poměr časového a prostorového kroku  $\mu$  je explicitní schéma prvního řádu přesnosti.

# Analýza stability

$$\frac{U_j^{n+1} - U_j^n}{\tau} = \frac{U_{j+1}^n - 2U_j^n + U_{j-1}^n}{h^2} \quad (10)$$

dosadíme  $U_j^n = e^{ikjh} \lambda^n$  a po vydělení  $e^{ikjh} \lambda^n$  dostáváme

$$\lambda - 1 = \mu \underbrace{e^{ikh} - 2 + e^{-ikh}}_{-4 \sin^2\left(\frac{kh}{2}\right)} \quad (11)$$

# Podmínka stability

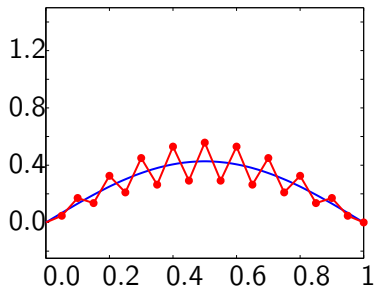
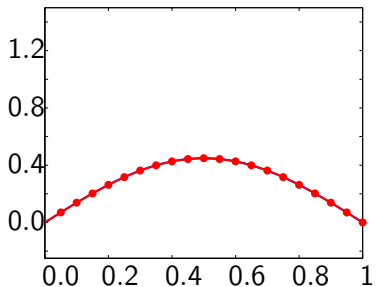
$$\lambda = 1 - 4\mu \sin^2 \left( \frac{kh}{2} \right) \quad (12)$$

Podmínka stability

$$|\lambda| \leq 1 \Rightarrow \mu \leq \frac{1}{2} \quad (13)$$

$$\tau \leq \frac{h^2}{2} \quad (14)$$

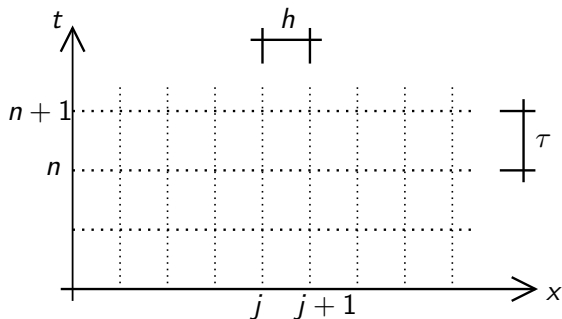
## Příklad



Obrázek: Porovnání přesného (modrá čára) a přibližného (červená čára). Vlevo je časový krok  $\tau = 0.0012$ , vpravo  $\tau = 0.0013$

# Implicitní schéma

$$\frac{U_j^{n+1} - U_j^n}{\tau} = \frac{U_{j+1}^{n+1} - 2U_j^{n+1} + U_{j-1}^{n+1}}{h^2} \quad (15)$$



Obrázek: Schéma výpočetní sítě pro nestacionární úlohu tepla v 1D

## Analýza stability

Dosadíme do implicitního schématu  $U_j^n = e^{ikjh} \lambda^n$ , čímž dostaneme

$$-\mu e^{ik(j-1)h} \lambda^{n+1} + (1 + 2\mu) e^{ikjh} \lambda^{n+1} - \mu e^{ik(j+1)h} \lambda^{n+1} = e^{ikjh} \lambda^n, \quad (16)$$

po vydělení  $e^{ikjh} \lambda^n$  máme

$$\lambda(-\mu e^{-ikh} + (1 + 2\mu) - \mu e^{ikh}) = 1. \quad (17)$$

## Podmínka stability

Po úpravách dostáváme

$$\lambda = \frac{1}{1 + 4\mu \sin^2 \frac{kh}{2}}. \quad (18)$$

Protože výraz  $1 + 4\mu \sin^2 \frac{kh}{2}$  je vždy větší nebo roven nule, leží pro libovolné  $\mu > 0$  amplifikační faktor  $\lambda \in (0, 1)$ . Implicitní schéma je stabilní nezávisle na volbě  $\tau$  a  $h$ . V takovém případě říkáme, že je schéma nepodmíněně stabilní.

Chyba diskretizace je stejná jako u explicitního schématu.

# Vlnová rovnice

$$\frac{\partial^2 u}{\partial t^2} = a^2 \frac{\partial^2 u}{\partial x^2} \quad (19)$$

Použijeme centrální diference na časovou i prostorovou derivaci

$$\frac{\partial^2 U_j}{\partial x^2} = \frac{U_{j+1}^n - 2U_j^n + U_{j-1}^n}{h^2} \quad (20)$$

$$\frac{\partial^2 U_j}{\partial t^2} = \frac{U_j^{n+1} - 2U_j^n + U_j^{n-1}}{\tau^2} \quad (21)$$

Nakonec dostáváme

$$\frac{U_j^{n+1} - 2U_j^n + U_j^{n-1}}{\tau^2} = a^2 \frac{U_{j+1}^n - 2U_j^n + U_{j-1}^n}{h^2}, \quad (22)$$

ze které můžeme vyjádřit  $U_j^{n+1}$

$$U_j^{n+1} = 2U_j^n - U_j^{n-1} + (\mu)^2 (U_{j+1}^n - 2U_j^n + U_{j-1}^n) \quad (23)$$

## Chyba diskretizace

Pro odvození chyby diskretizace použijeme Taylorův rozvoj:

$$u_{,tt} + \frac{1}{12}\tau^2 u_{,tttt} + \dots = a^2 \left( u_{,xx} + \frac{1}{12}h^2 u_{xxxx} + \dots \right) \quad (24)$$

Vidíme, že je metoda druhého řádu přesnosti v prostorové a časové proměnné.

# Analýza stability

Dosadíme

$$U_j^n = e^{ikjh} \lambda^n, \quad (25)$$

po úpravách dostáváme

$$\lambda^2 = \left( 2 + e^{ikh} - 2 + e^{-ikh} \right) \lambda + 1 \quad (26)$$

Nakonec vychází rovnice, ze které spočítáme amplifikační faktor

$$\lambda^2 = \left( 2 - 4\mu^2 \sin^2 \frac{kh}{2} \right) \lambda + 1, \quad (27)$$

kde jsme podíl  $\frac{a\tau}{h}$  označili  $\mu$ . Kořeny této kvadratické rovnice mají tvar

$$\lambda_{1,2} = \alpha \pm \sqrt{\alpha^2 - 1} \quad \text{kde} \quad \alpha = 1 - 2\mu^2 \sin^2 \frac{kh}{2}, \quad (28)$$

kde  $\alpha = 1 - 2\mu \sin^2 \left( \frac{kh}{2} \right)$ .

## Podmínka stability

Pro  $\alpha > 1$  bude absolutní hodnota alespoň jednoho kořene kvadratické rovnice větší než jedna. Pokud vezmeme  $|\alpha| \leq 1$ , amplifikační faktory budou komplexní čísla

$$\lambda_{1,2} = \alpha \pm i\sqrt{1 - \alpha^2} \quad (29)$$

o velikosti

$$|\lambda_{1,2}|^2 = |\alpha|^2 \pm |1 - \alpha^2| = 1, \quad (30)$$

z čehož plyne, že schéma je podmíněně stabilní s podmínkou stability

$$-1 \leq \alpha \leq 1 \quad (31)$$

neboli

$$0 \leq \frac{a\tau}{h} \leq 1 \quad (32)$$

Levá nerovnost je splněna pro  $a \geq 0$ . Pokud definujeme rychlosť numerického schématu jako  $a_n = h/\tau$ , podmínka stability říká, že rychlosť numerického schématu musí být větší než nebo stejná jako skutečná rychlosť  $a$ .